

复合沟道 MOSFET

ELM4C3909FBA-S

<https://www.elm-tech.com>

■ 概要

ELM4C3909FBA-S 是低输入电容、低工作电压、低导通电阻的大电流 MOSFET。同时内藏有 N 沟道和 P 沟道的复合产品。

■ 特点

N 沟道

- $V_{ds}=30V$

P 沟道

- $V_{ds}=-30V$

- $I_d=3.8A(V_{gs}=4.5V)$

- $I_d=-2.3A(V_{gs}=-4.5V)$

- $R_{ds(on)} = 60m\Omega(V_{gs}=10V)$

- $R_{ds(on)} = 115m\Omega(V_{gs}=-10V)$

- $R_{ds(on)} = 65m\Omega(V_{gs}=4.5V)$

- $R_{ds(on)} = 145m\Omega(V_{gs}=-4.5V)$

- $R_{ds(on)} = 85m\Omega(V_{gs}=2.5V)$

- $R_{ds(on)} = 200m\Omega(V_{gs}=-2.5V)$

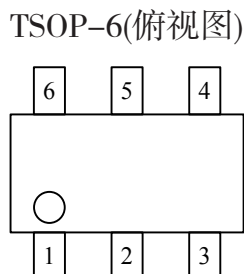
■ 绝对最大额定值

| 项目 | 记号 | N 沟道 (最大值) | P 沟道 (最大值) | 单位 | 备注 |
|--------------------------------|-----------|------------|------------|----|----|
| 漏极 - 源极电压 | V_{ds} | 30 | -30 | V | |
| 栅极 - 源极电压 | V_{gs} | ± 12 | ± 12 | V | |
| 漏极电流 (定常) ($V_{gs}=4.5V$) | I_d | 3.8 | -2.3 | A | 1 |
| | | 3.0 | -1.8 | | |
| 脉冲漏极电流 | I_{dm} | 16 | -15 | A | 2 |
| 容许功耗 | P_d | 1.1 | 1.1 | W | 3 |
| 保存温度范围 | T_{stg} | -55 ~ 150 | -55 ~ 150 | °C | |
| 结合部温度范围 | T_j | -55 ~ 150 | -55 ~ 150 | °C | |

■ 热特性

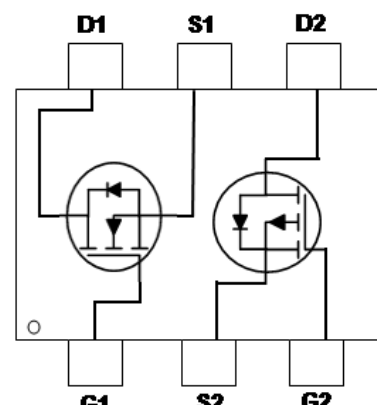
| 项目 | 记号 | 典型值 | 最大值 | 单位 | 备注 |
|------------|-----------------|-----|-----|------|----|
| 结合部 - 环境热阻 | $R_{\theta ja}$ | - | 110 | °C/W | 1 |
| 结合部 - 封装热阻 | $R_{\theta jc}$ | - | 70 | °C/W | 1 |

■ 引脚配置图



| 引脚编号 | 引脚名称 |
|------|---------|
| 1 | GATE1 |
| 2 | SOURCE2 |
| 3 | GATE2 |
| 4 | DRAIN2 |
| 5 | SOURCE1 |
| 6 | DRAIN1 |

■ 电路图



复合沟道 MOSFET

ELM4C3909FBA-S

<https://www.elm-tech.com>

■电特性(N 沟道)

如没有特别注明时, $T_j=25^\circ\text{C}$

| 项目 | 记号 | 条件 | 最小值 | 典型值 | 最大值 | 单位 | 备注 |
|-------------|---------|---|-----|------|-----------|------------------|------|
| 静态特性 | | | | | | | |
| 漏极 – 源极击穿电压 | BVdss | $V_{gs}=0\text{V}, I_d=250\mu\text{A}$ | 30 | - | - | V | |
| 漏极 – 源极导通电阻 | Rds(on) | $V_{gs}=10\text{V}, I_d=3.4\text{A}$ | - | 52 | 60 | $\text{m}\Omega$ | 2 |
| | | $V_{gs}=4.5\text{V}, I_d=3.0\text{A}$ | - | 57 | 65 | | |
| | | $V_{gs}=2.5\text{V}, I_d=2.0\text{A}$ | - | 70 | 85 | | |
| 栅极阈值电压 | Vgs(th) | $V_{gs}=V_{ds}, I_d=250\mu\text{A}$ | 0.4 | - | 1.2 | V | |
| 漏极 – 源极间漏电流 | Idss | $V_{ds}=24\text{V}, V_{gs}=0\text{V}$ | - | - | 1 | μA | |
| | | $V_{ds}=24\text{V}, V_{gs}=0\text{V}, T_j=55^\circ\text{C}$ | - | - | 5 | | |
| 栅极 – 源极间漏电流 | Igss | $V_{gs}=\pm 12\text{V}, V_{ds}=0\text{V}$ | - | - | ± 100 | nA | |
| 正向跨导 | Gfs | $V_{ds}=5\text{V}, I_d=3.4\text{A}$ | - | 6 | - | S | |
| 连续源电流 | Is | $V_{gs}=V_{ds}=0\text{V}$, Force current | - | - | 3.8 | A | 1, 4 |
| 二极管正向压降 | Vsd | $V_{gs}=0\text{V}, I_s=1\text{A}$ | - | - | 1.2 | V | 2 |
| 动态特性 | | | | | | | |
| 输入电容 | Ciss | $V_{ds}=15\text{V}, V_{gs}=0\text{V}, f=1\text{MHz}$ | - | 662 | - | pF | |
| 输出电容 | Coss | | - | 52 | - | pF | |
| 反馈电容 | Crss | | - | 45 | - | pF | |
| 开关特性 | | | | | | | |
| 总栅极电荷 (4.5) | Qg | $V_{ds}=15\text{V}, V_{gs}=4.5\text{V}, I_d=3\text{A}$ | - | 8.4 | - | nC | |
| 栅极 – 源极电荷 | Qgs | | - | 1.6 | - | nC | |
| 栅极 – 漏极电荷 | Qgd | | - | 1.8 | - | nC | |
| 导通延迟时间 | td(on) | $V_{ds}=10\text{V}, V_{gs}=4.5\text{V}$ $R_{gen}=3.3\Omega, I_d=3\text{A}$ | - | 3.2 | - | ns | |
| 导通上升时间 | tr | | - | 41.8 | - | ns | |
| 关闭延迟时间 | td(off) | | - | 21.2 | - | ns | |
| 关闭下降时间 | tf | | - | 6.4 | - | ns | |

备注:

1. 测试数据是由安装在平面为1平方英寸FR-4、铜箔厚为 $70\mu\text{m}$ 上取得的;
2. 脉冲测试数据: 脉冲宽度 $\leqslant 300\mu\text{s}$, 占空比 $\leqslant 2\%$;
3. 容许功耗受 150°C 结合部温度限制;
4. 该数据在理论上与 I_d 、 I_{dm} 一样, 在实际应用上会受到总功耗的限制。

复合沟道 MOSFET

ELM4C3909FBA-S

<https://www.elm-tech.com>

■ 标准特性曲线 (N 沟道)

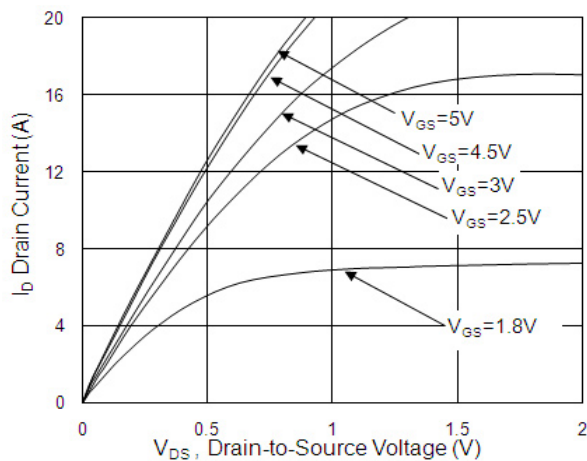


Fig.1 Typical Output Characteristics

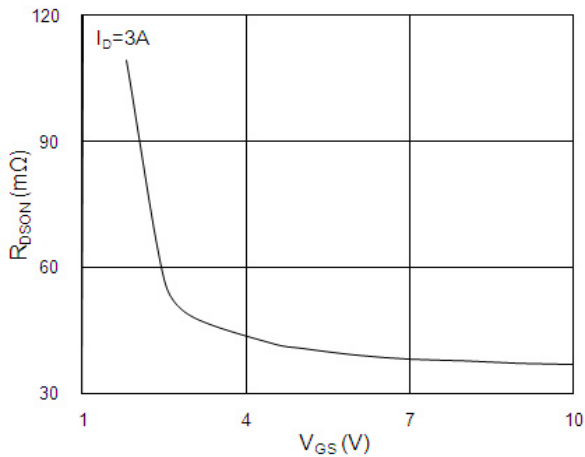


Fig.2 On-Resistance vs. Gate-Source

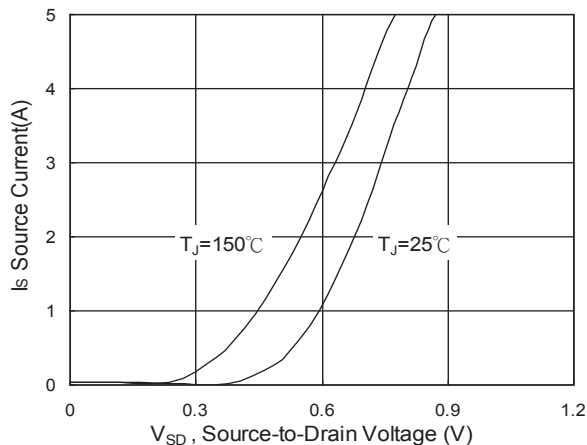


Fig.3 Forward Characteristics of Reverse

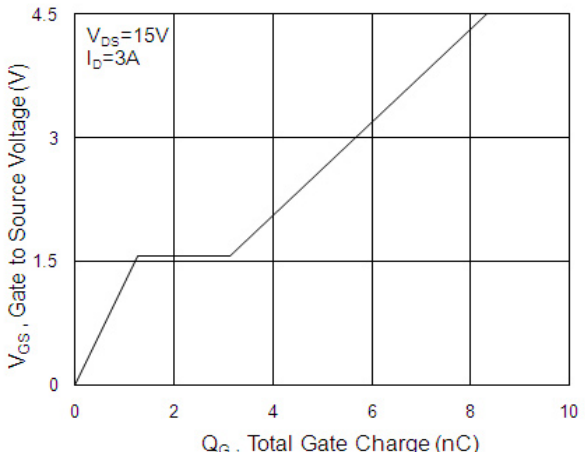


Fig.4 Gate-Charge Characteristics

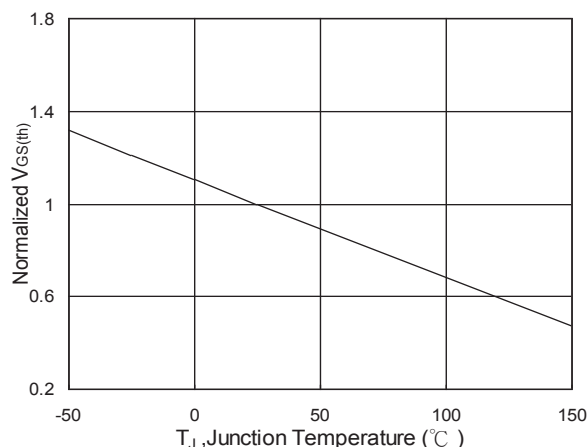


Fig.5 Normalized $V_{GS(\text{th})}$ vs. T_J

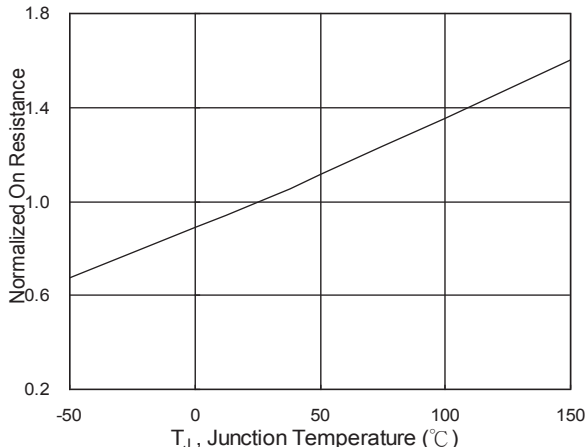
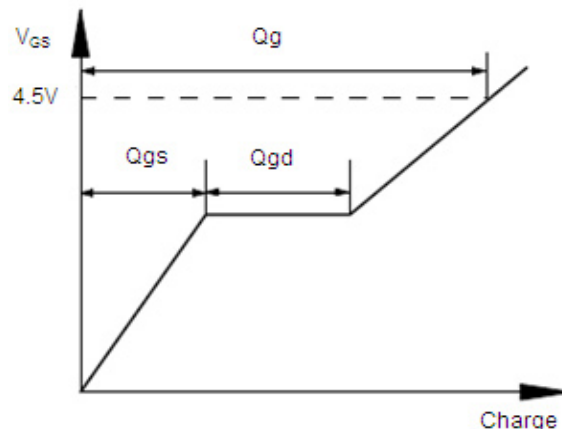
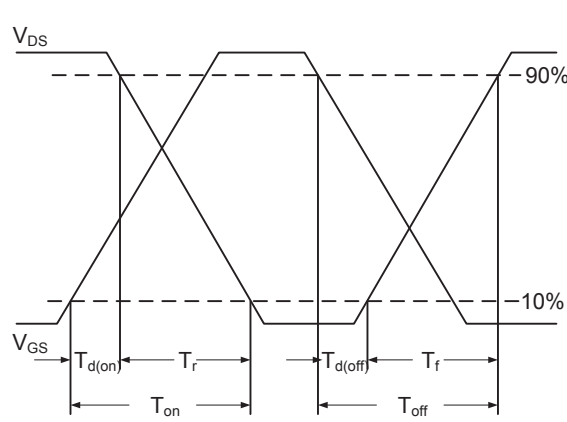
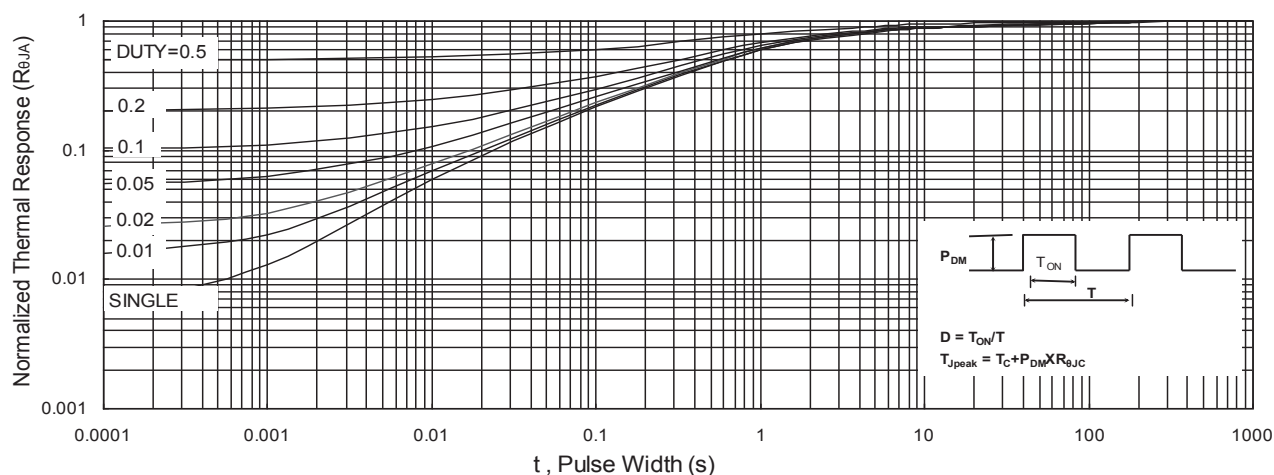
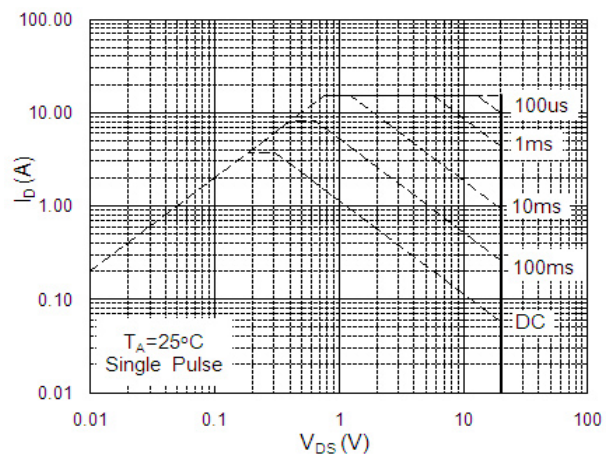
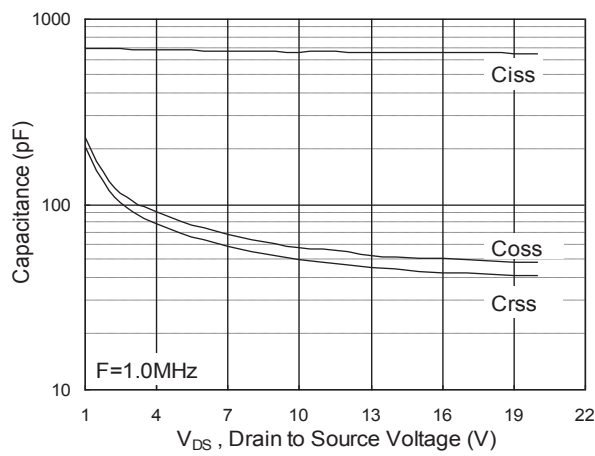


Fig.6 Normalized $R_{DS(on)}$ vs. T_J

复合沟道 MOSFET

ELM4C3909FBA-S

<https://www.elm-tech.com>



复合沟道 MOSFET

ELM4C3909FBA-S

<https://www.elm-tech.com>

■电特性 (P 沟道)

如没有特别注明时, $T_j=25^\circ\text{C}$

| 项目 | 记号 | 条件 | 最小值 | 典型值 | 最大值 | 单位 | 备注 |
|--------------|---------|--|------|------|-----------|------------------|------|
| 静态特性 | | | | | | | |
| 漏极 – 源极击穿电压 | BVdss | $V_{gs}=0\text{V}, I_d=-250\mu\text{A}$ | -30 | - | - | V | |
| 漏极 – 源极导通电阻 | Rds(on) | $V_{gs}=-10\text{V}, I_d=-2.3\text{A}$ | - | 85 | 115 | $\text{m}\Omega$ | 2 |
| | | $V_{gs}=-4.5\text{V}, I_d=-2.0\text{A}$ | - | 105 | 145 | | |
| | | $V_{gs}=-2.5\text{V}, I_d=-1.0\text{A}$ | - | 145 | 200 | | |
| 栅极阈值电压 | Vgs(th) | $V_{gs}=V_{ds}, I_d=-250\mu\text{A}$ | -0.4 | - | -1.2 | V | |
| 漏极 – 源极间漏电流 | Idss | $V_{ds}=-24\text{V}, V_{gs}=0\text{V}$ | - | - | -1 | μA | |
| | | $V_{ds}=-24\text{V}, V_{gs}=0\text{V}, T_j=55^\circ\text{C}$ | - | - | -5 | | |
| 栅极 – 源极间漏电流 | Igss | $V_{gs}=\pm 12\text{V}, V_{ds}=0\text{V}$ | - | - | ± 100 | nA | |
| 正向跨导 | Gfs | $V_{ds}=-5\text{V}, I_d=-2.3\text{A}$ | - | 5.3 | - | S | |
| 连续源电流 | Is | $V_{gs}=V_{ds}=0\text{V}$, Force current | - | - | -2.3 | A | 1, 4 |
| 二极管正向压降 | Vsd | $V_{gs}=0\text{V}, I_s=-1\text{A}$ | - | - | -1.2 | V | 2 |
| 动态特性 | | | | | | | |
| 输入电容 | Ciss | $V_{ds}=-15\text{V}, V_{gs}=0\text{V}, f=1\text{MHz}$ | - | 710 | - | pF | |
| 输出电容 | Coss | | - | 79 | - | pF | |
| 反馈电容 | Crss | | - | 57 | - | pF | |
| 开关特性 | | | | | | | |
| 总栅极电荷 (-4.5) | Qg | $V_{ds}=-15\text{V}, V_{gs}=-4.5\text{V}$ $I_d=-2\text{A}$ | - | 8.1 | - | nC | |
| 栅极 – 源极电荷 | Qgs | | - | 1.2 | - | nC | |
| 栅极 – 漏极电荷 | Qgd | | - | 2.1 | - | nC | |
| 导通延迟时间 | td(on) | $V_{ds}=-10\text{V}, V_{gs}=-4.5\text{V}$ $R_{gen}=3.3\Omega, I_d=-2\text{A}$ | - | 4.0 | - | ns | |
| 导通上升时间 | tr | | - | 33.2 | - | ns | |
| 关闭延迟时间 | td(off) | | - | 26.0 | - | ns | |
| 关闭下降时间 | tf | | - | 11.6 | - | ns | |

备注:

1. 测试数据是由安装在平面为1平方英寸FR-4、铜箔厚为 $70\mu\text{m}$ 上取得的;
2. 脉冲测试数据: 脉冲宽度 $\leqslant 300\mu\text{s}$, 占空比 $\leqslant 2\%$;
3. 容许功耗受 150°C 结合部温度限制;
4. 该数据在理论上与 I_d 、 I_{dm} 一样, 在实际应用上会受到总功耗的限制。

复合沟道 MOSFET

ELM4C3909FBA-S

<https://www.elm-tech.com>

■ 标准特性曲线 (P 沟道)

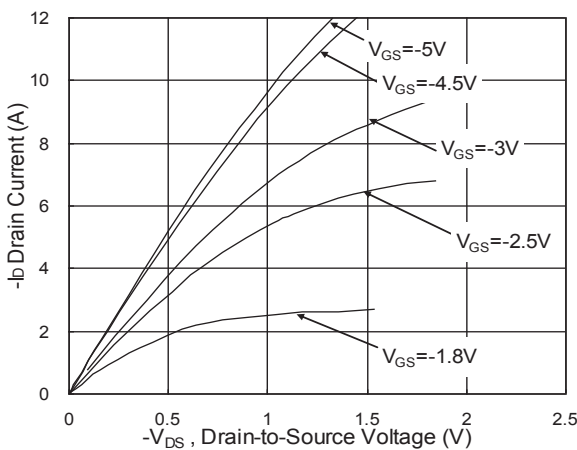


Fig.1 Typical Output Characteristics

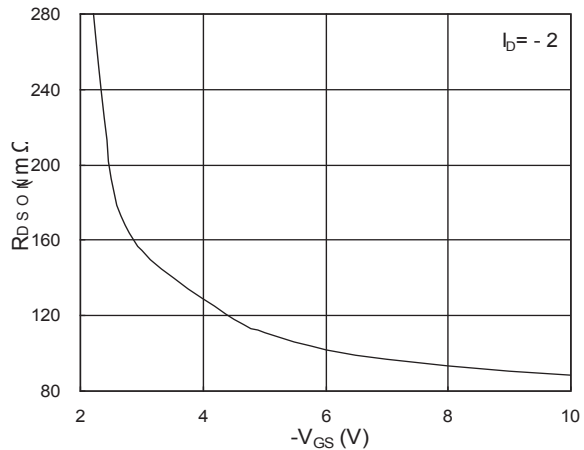


Fig.2 On-Resistance vs. Gate-Source

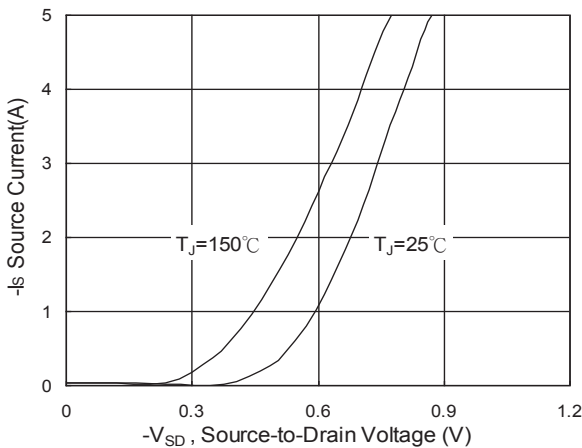


Fig.3 Forward Characteristics of Reverse

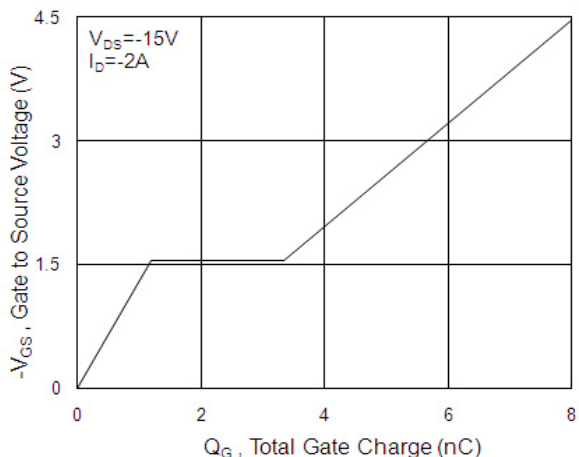


Fig.4 Gate-Charge Characteristics

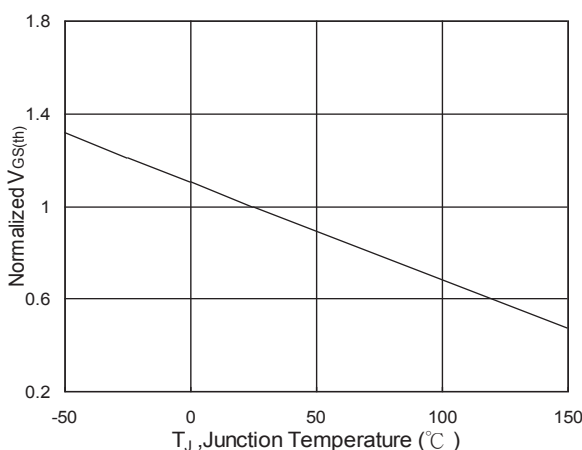


Fig.5 Normalized $V_{GS(th)}$ vs. T_J

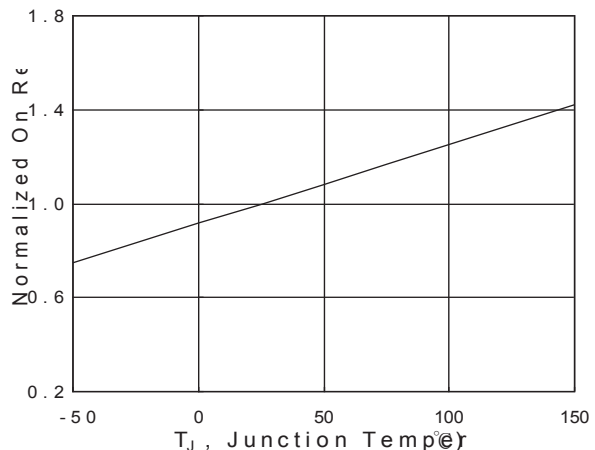


Fig.6 Normalized $R_{DS(on)}$ vs. T_J

复合沟道 MOSFET

ELM4C3909FBA-S

<https://www.elm-tech.com>

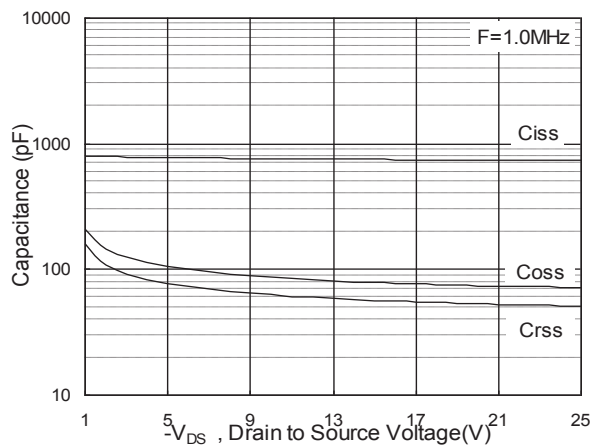


Fig.7 Capacitance

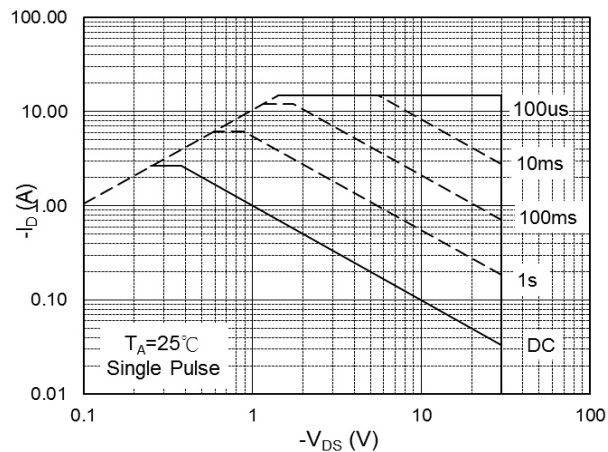


Fig.8 Safe Operating Area

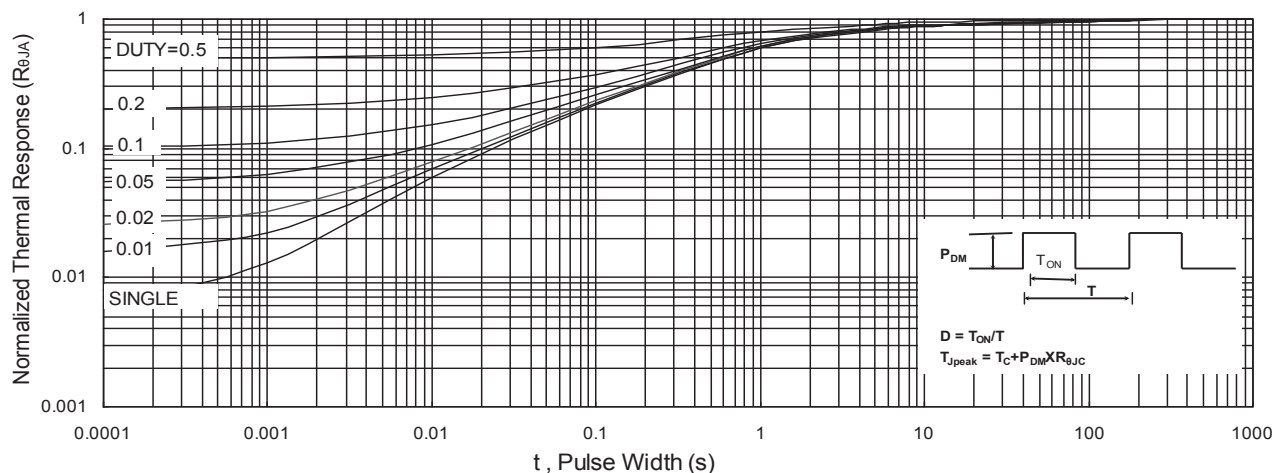


Fig.9 Normalized Maximum Transient Thermal Impedance

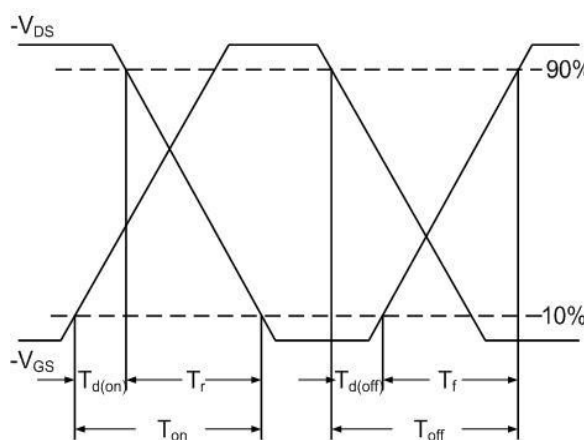


Fig.10 Switching Time Waveform

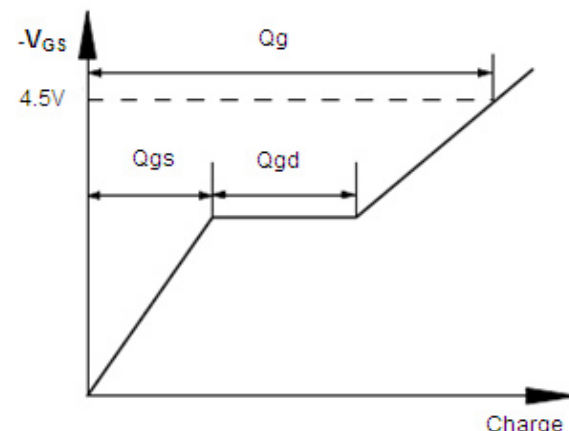


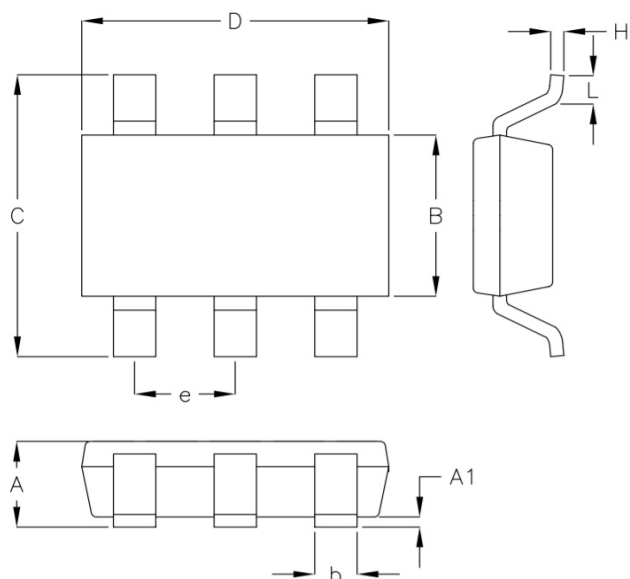
Fig.11 Gate Charge Waveform

复合沟道 MOSFET

ELM4C3909FBA-S

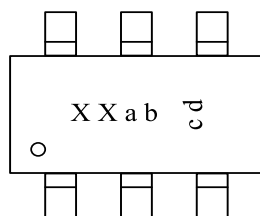
<https://www.elm-tech.com>

■TSOP-6 外形尺寸 (3,000 颗 / 卷)



| 记号 | Millimeters | | Inches | |
|----|-------------|------|--------|-------|
| | Min. | Max. | Min. | Max. |
| A | 0.70 | 0.90 | 0.028 | 0.035 |
| A1 | 0.00 | 0.10 | 0.000 | 0.004 |
| B | 1.50 | 1.70 | 0.059 | 0.067 |
| b | 0.35 | 0.50 | 0.014 | 0.020 |
| C | 2.60 | 3.00 | 0.102 | 0.119 |
| D | 2.80 | 3.02 | 0.110 | 0.119 |
| e | 0.90 | 1.00 | 0.035 | 0.039 |
| H | 0.08 | 0.20 | 0.003 | 0.008 |
| L | 0.30 | 0.60 | 0.012 | 0.024 |

■封装印字说明



| 记号 | 表示内容 |
|----|--|
| XX | 产品型号代码 |
| a | 年份代码: 2019=9, 2020=A, 2021=B, 2022=C ... |
| b | 週代码: A ~ Z, a ~ z 计 53 週 |
| c | 批号: 1 ~ 9 或 A ~ Z |
| d | 生产代码: A ~ Z (I, O 除外) |